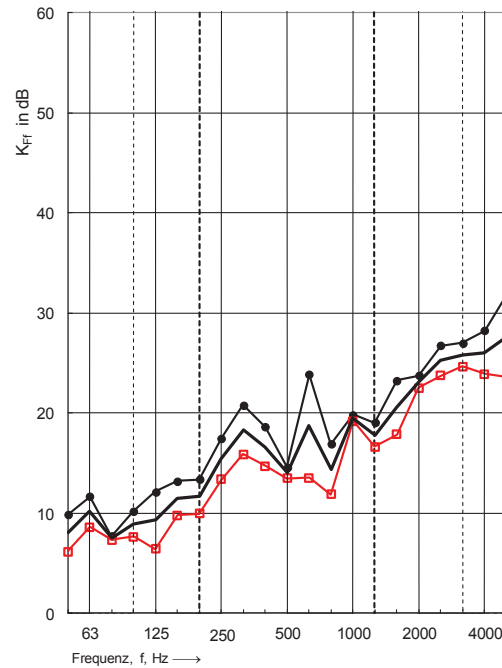
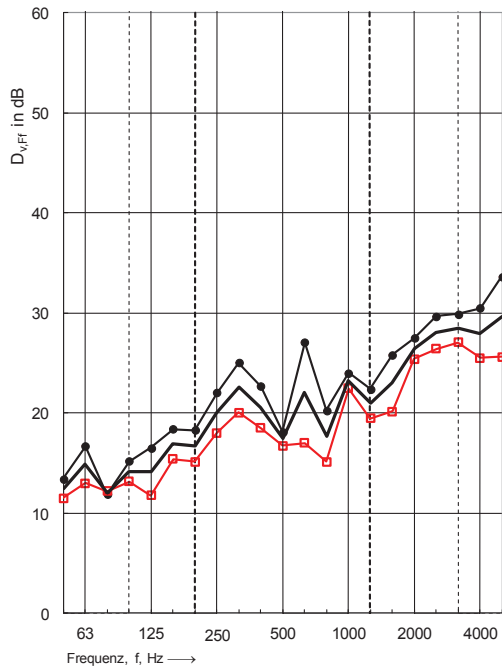
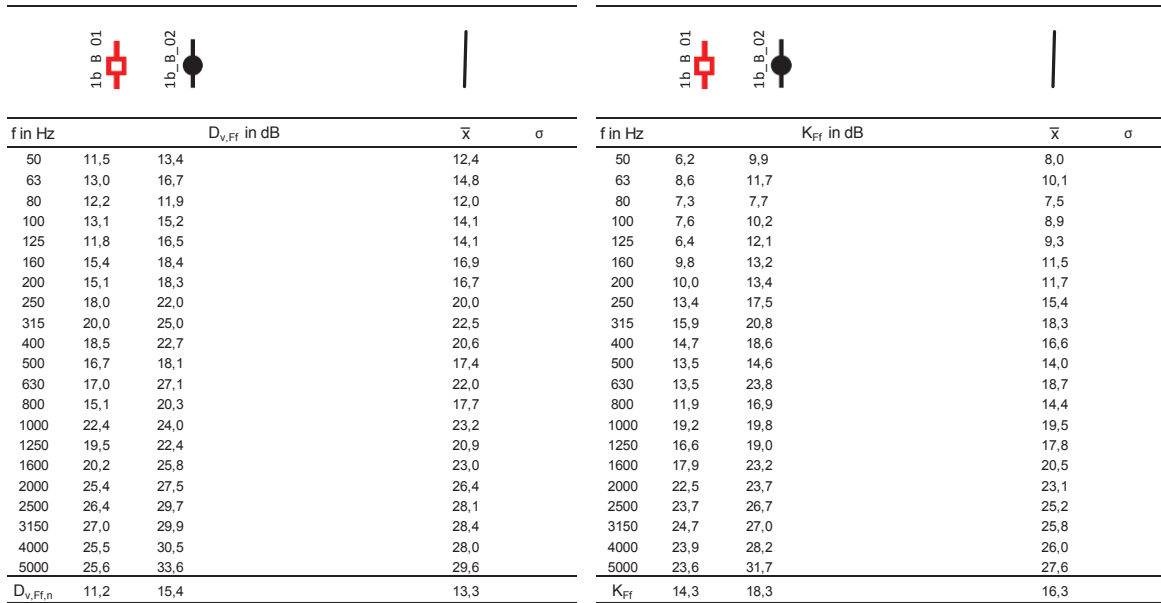
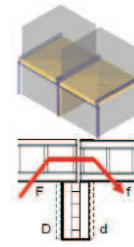




**Kopplungsgrößen Stoßtyp 1b\_B, Übertragungsweg Ff:**

Prüf.Nr.:	Flanke	Trennwand	$\frac{m^2_{Wand}}{m^2_{Decke}}$
1b_B_01	200 LFE	80 BSP	0,98
1b_B_02	200 LFE	2x18 GF / 140 BSP/ 2x18 GF	3,98

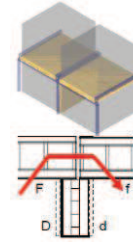
Abmessungen
$l_{ij} = 4,3 \text{ m}$
$S_{Dd} = 10,8 \text{ m}^2$
$S_F = 21,5 \text{ m}^2$
$S_r = 20 \text{ m}^2$



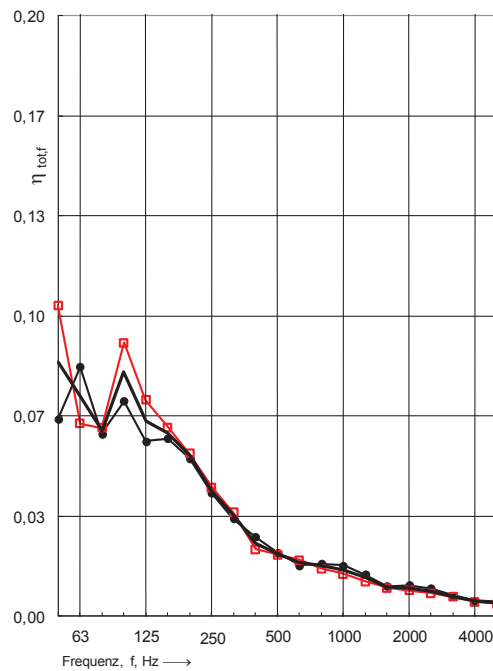
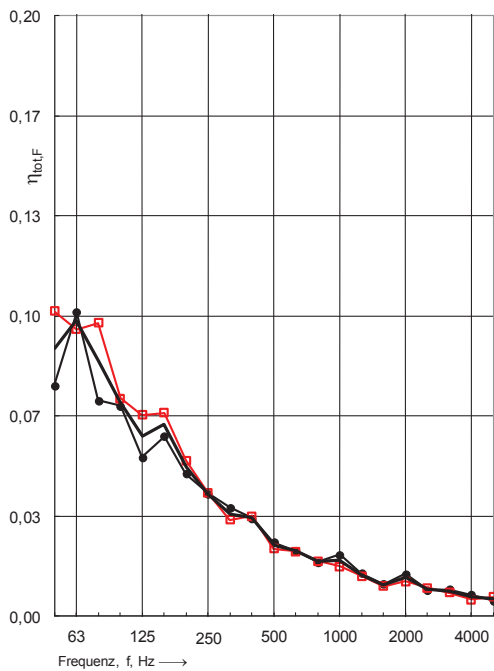
**Abbildung 37**  $D_{v,ij}$ ,  $K_{ij}$ : Horizontaler T-Stoß – Hohlkastendecke getrennt, Trennbauteil z.T. mit Beplankung: Messdaten  $D_{v,Ff}$  mit zugehörigen Messkurven (links); Messdaten  $K_{Ff}$  mit zugehörigen Messkurven (rechts)

**Gesamt Verlustfaktoren der Stoßbauteile, Stoßtyp 1b\_B, Übertragungsweg Ff:**

Prüf.Nr.:	Flanke	Trennwand	$\frac{m^2_{Wand}}{m^2_{Decke}}$	Abmessungen
1b_B_01	200 LFE	80 BSP	0,98	$l_{ij} = 4,3 \text{ m}$
1b_B_02	200 LFE	2x18 GF / 140 BSP/ 2x18 GF	3,98	$S_{Dd} = 10,8 \text{ m}^2$
				$S_F = 21,5 \text{ m}^2$
				$S_I = 20 \text{ m}^2$



1b_B_01				1b_B_02			
f in Hz	$\eta_{tot,F}$	$\bar{x}$	$\sigma$	f in Hz	$\eta_{tot,f}$	$\bar{x}$	$\sigma$
50	0,102	0,077		50	0,103	0,066	0,085
63	0,096	0,101	0,089	63	0,064	0,083	0,074
80	0,098	0,072	0,085	80	0,063	0,061	0,062
100	0,072	0,070	0,071	100	0,091	0,072	0,081
125	0,067	0,053	0,060	125	0,072	0,058	0,065
160	0,068	0,060	0,064	160	0,063	0,059	0,061
200	0,052	0,047	0,050	200	0,054	0,053	0,053
250	0,041	0,041	0,041	250	0,043	0,041	0,042
315	0,032	0,036	0,034	315	0,034	0,032	0,033
400	0,033	0,033	0,033	400	0,022	0,026	0,024
500	0,022	0,025	0,023	500	0,020	0,021	0,021
630	0,022	0,022	0,022	630	0,019	0,017	0,018
800	0,018	0,018	0,018	800	0,016	0,017	0,017
1000	0,016	0,020	0,018	1000	0,014	0,017	0,016
1250	0,013	0,014	0,014	1250	0,012	0,014	0,013
1600	0,010	0,011	0,010	1600	0,009	0,010	0,010
2000	0,012	0,014	0,013	2000	0,009	0,010	0,009
2500	0,010	0,009	0,009	2500	0,008	0,009	0,008
3150	0,008	0,009	0,008	3150	0,006	0,007	0,007
4000	0,006	0,007	0,006	4000	0,005	0,005	0,005
5000	0,006	0,005	0,006	5000	0,004	0,005	0,004



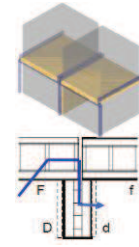
**Abbildung 38**  $\eta_{tot}$ : Horizontaler T-Stoß – Hohlkastendecke getrennt, Trennbauteil z.T. mit Beplankung: Messdaten  $\eta_{tot,F}$  mit zugehörigen Messkurven (links), Messdaten  $\eta_{tot,f}$  mit zugehörigen Messkurven (rechts)



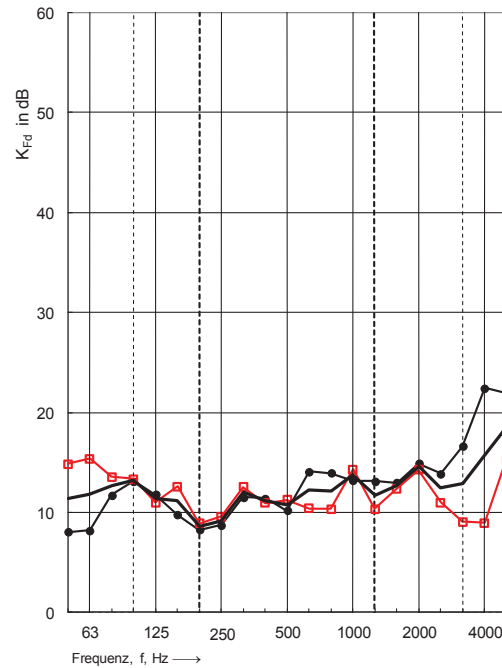
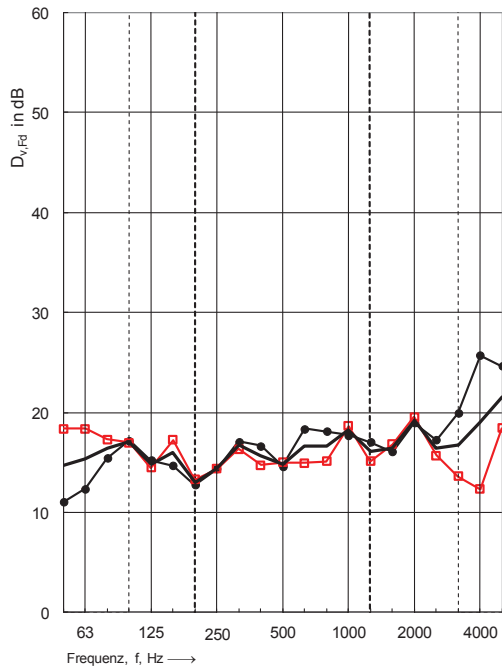
**Kopplungsgrößen Stoßtyp 1b\_B, Übertragungsweg Fd:**

Prüf.Nr.:	Flanke	Trennwand	$\frac{m^2_{Wand}}{m^2_{Decke}}$
1b_B_01	200 LFE	80 BSP	0,98
1b_B_02	200 LFE	2x18 GF / 140 BSP/ 2x18 GF	3,98

Abmessungen
$l_{ij} = 4,3 \text{ m}$
$S_{Dd} = 10,8 \text{ m}^2$
$S_F = 21,5 \text{ m}^2$
$S_r = 20 \text{ m}^2$



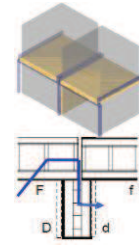
1b_B_01					1b_B_02				
f in Hz	$D_{v,Fd}$ in dB		$\bar{x}$	$\sigma$	f in Hz	$K_{Fd}$ in dB		$\bar{x}$	$\sigma$
50	18,4	11,1	14,7		50	14,8	8,0	11,4	
63	18,4	12,4	15,4		63	15,4	8,2	11,8	
80	17,3	15,4	16,4		80	13,6	11,7	12,6	
100	17,0	17,2	17,1		100	13,3	13,1	13,2	
125	14,5	15,2	14,9		125	11,0	11,8	11,4	
160	17,3	14,7	16,0		160	12,6	9,8	11,2	
200	13,3	12,7	13,0		200	8,9	8,3	8,6	
250	14,3	14,3	14,3		250	9,6	8,8	9,2	
315	16,3	17,1	16,7		315	12,5	11,5	12,0	
400	14,8	16,7	15,7		400	10,9	11,4	11,2	
500	15,0	14,6	14,8		500	11,3	10,2	10,7	
630	14,9	18,4	16,6		630	10,4	14,1	12,3	
800	15,1	18,1	16,6		800	10,3	13,9	12,1	
1000	18,6	17,7	18,2		1000	14,3	13,2	13,7	
1250	15,1	17,0	16,1		1250	10,3	13,1	11,7	
1600	16,8	16,0	16,4		1600	12,4	13,0	12,7	
2000	19,6	18,9	19,2		2000	14,3	14,9	14,6	
2500	15,7	17,2	16,5		2500	11,0	13,9	12,4	
3150	13,6	19,9	16,8		3150	9,1	16,6	12,8	
4000	12,3	25,7	19,0		4000	9,0	22,4	15,7	
5000	18,4	24,6	21,5		5000	15,3	22,0	18,6	
$D_{v,Fd,n}$	9,8	10,8	10,3		$K_{Fd}$	11,0	11,6	11,3	



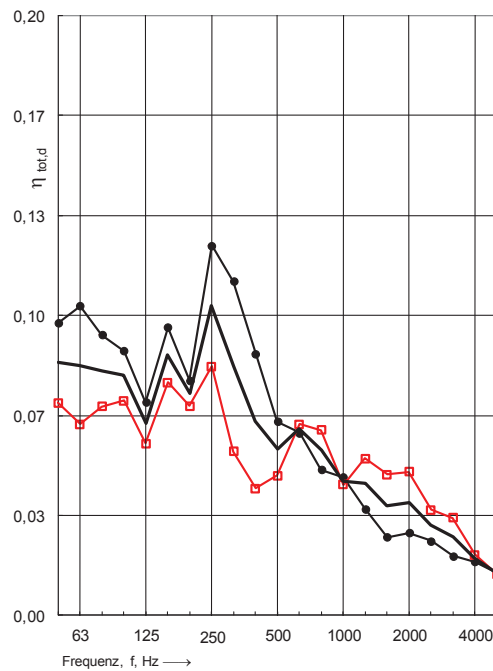
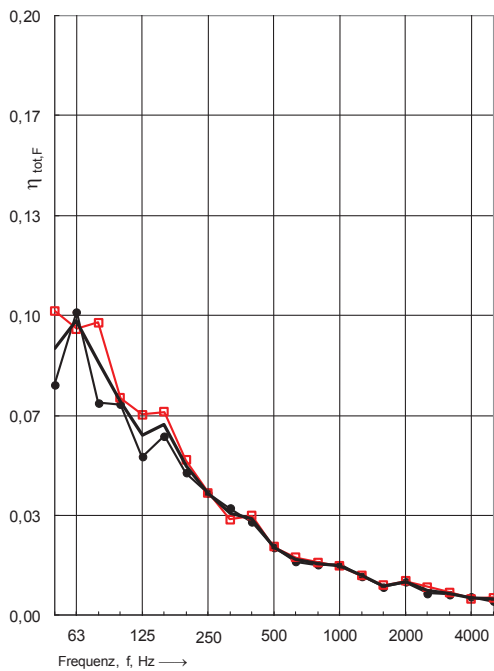
**Abbildung 39**  $D_{v,ij}$ ,  $K_{ij}$ : Horizontaler T-Stoß – Hohlkastendecke getrennt, Trennbauteil z.T. mit Beplankung: Messdaten  $D_{v,Fd}$  mit zugehörigen Messkurven (links), Messdaten  $K_{Fd}$  mit zugehörigen Messkurven (rechts)

**Gesamt Verlustfaktoren der Stoßbauteile, Stoßtyp 1b\_B, Übertragungsweg Fd:**

Prüf.Nr.:	Flanke	Trennwand	$\frac{m^2_{Wand}}{m^2_{Decke}}$	Abmessungen
1b_B_01	200 LFE	80 BSP	0,98	$l_{ij} = 4,3 \text{ m}$
1b_B_02	200 LFE	2x18 GF / 140 BSP/ 2x18 GF	3,98	$S_{Dd} = 10,8 \text{ m}^2$
				$S_F = 21,5 \text{ m}^2$
				$S_I = 20 \text{ m}^2$



1b_B_01				1b_B_02					
f in Hz	$\eta_{tot,F}$		$\bar{x}$	$\sigma$	f in Hz	$\eta_{tot,d}$		$\bar{x}$	$\sigma$
50	0,102	0,077	0,089		50	0,071	0,097	0,084	
63	0,096	0,101	0,098		63	0,064	0,103	0,083	
80	0,098	0,071	0,084		80	0,070	0,094	0,082	
100	0,072	0,070	0,071		100	0,072	0,088	0,080	
125	0,067	0,053	0,060		125	0,057	0,071	0,064	
160	0,068	0,060	0,064		160	0,078	0,096	0,087	
200	0,052	0,047	0,050		200	0,070	0,078	0,074	
250	0,041	0,041	0,041		250	0,083	0,123	0,103	
315	0,032	0,036	0,034		315	0,055	0,111	0,083	
400	0,033	0,031	0,032		400	0,042	0,087	0,065	
500	0,023	0,023	0,023		500	0,047	0,065	0,056	
630	0,019	0,018	0,019		630	0,064	0,061	0,062	
800	0,018	0,017	0,017		800	0,062	0,049	0,055	
1000	0,016	0,017	0,017		1000	0,044	0,046	0,045	
1250	0,013	0,013	0,013		1250	0,052	0,036	0,044	
1600	0,010	0,009	0,010		1600	0,047	0,026	0,037	
2000	0,012	0,011	0,011		2000	0,048	0,028	0,038	
2500	0,010	0,007	0,008		2500	0,035	0,025	0,030	
3150	0,008	0,007	0,007		3150	0,032	0,020	0,026	
4000	0,006	0,006	0,006		4000	0,020	0,018	0,019	
5000	0,006	0,005	0,005		5000	0,014	0,014	0,014	



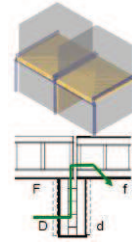
**Abbildung 40**  $\eta_{tot}$ : Horizontaler T-Stoß – Hohlkastendecke getrennt, Trennbauteil z.T. mit Beplankung: Messdaten  $\eta_{tot,F}$  mit zugehörigen Messkurven (links); Messdaten  $\eta_{tot,d}$  mit zugehörigen Messkurven (rechts)



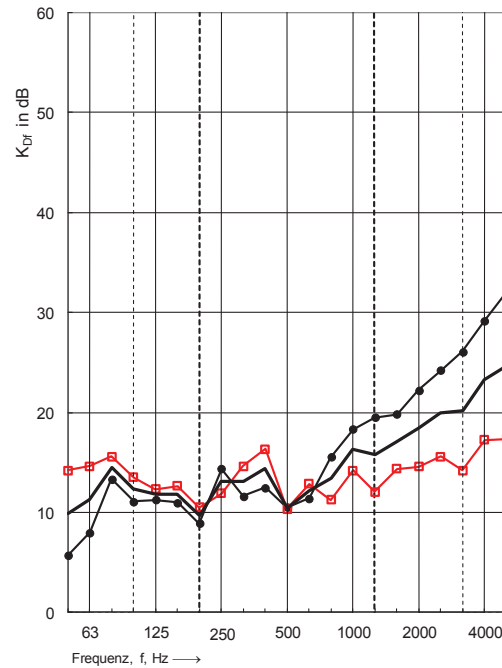
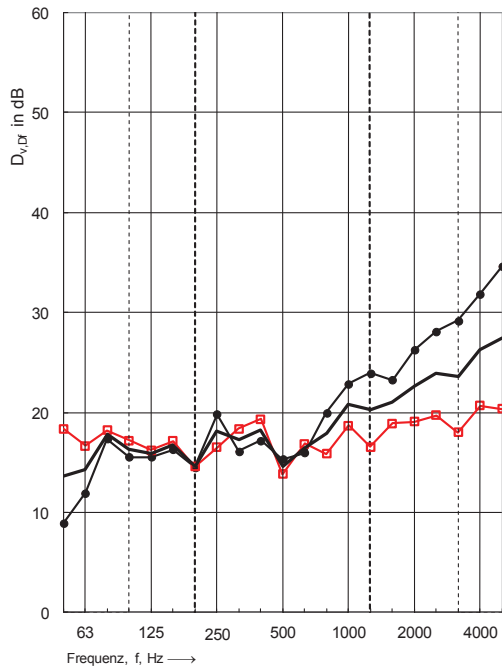
**Kopplungsgrößen Stoßtyp 1b\_B, Übertragungsweg Df:**

Prüf.Nr.:	Flanke	Trennwand	$\frac{m^2_{Wand}}{m^2_{Decke}}$
1b_B_01	200 LFE	80 BSP	0,98
1b_B_02	200 LFE	2x18 GF / 140 BSP/ 2x18 GF	3,98

Abmessungen
$l_{ij} = 4,3 \text{ m}$
$S_{Dd} = 10,8 \text{ m}^2$
$S_F = 21,5 \text{ m}^2$
$S_r = 20 \text{ m}^2$



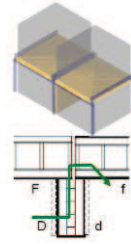
1b_B_01				1b_B_02					
f in Hz	$D_{v,Dr}$ in dB		$\bar{x}$	$\sigma$	f in Hz	$K_{Dr}$ in dB		$\bar{x}$	$\sigma$
50	18,4	8,9	13,6		50	14,2	5,7	9,9	
63	16,7	11,9	14,3		63	14,6	8,0	11,3	
80	18,2	17,4	17,8		80	15,6	13,3	14,5	
100	17,2	15,5	16,4		100	13,5	11,1	12,3	
125	16,2	15,5	15,9		125	12,3	11,3	11,8	
160	17,1	16,3	16,7		160	12,6	11,0	11,8	
200	14,6	14,5	14,6		200	10,5	8,9	9,7	
250	16,5	19,8	18,1		250	11,9	14,4	13,1	
315	18,4	16,1	17,3		315	14,6	11,6	13,1	
400	19,4	17,2	18,3		400	16,3	12,5	14,4	
500	13,8	15,3	14,6		500	10,4	10,5	10,4	
630	16,9	15,9	16,4		630	12,9	11,4	12,1	
800	15,8	20,0	17,9		800	11,3	15,6	13,4	
1000	18,7	22,9	20,8		1000	14,2	18,3	16,3	
1250	16,5	23,9	20,2		1250	12,1	19,5	15,8	
1600	18,9	23,3	21,1		1600	14,4	19,8	17,1	
2000	19,1	26,3	22,7		2000	14,6	22,3	18,4	
2500	19,7	28,1	23,9		2500	15,6	24,2	19,9	
3150	18,0	29,2	23,6		3150	14,2	26,1	20,1	
4000	20,7	31,9	26,3		4000	17,3	29,2	23,2	
5000	20,4	34,6	27,5		5000	17,4	32,0	24,7	
$D_{v,Dr,n}$	11,4	13,1	12,2		$K_{Dr}$	12,7	13,6	13,2	



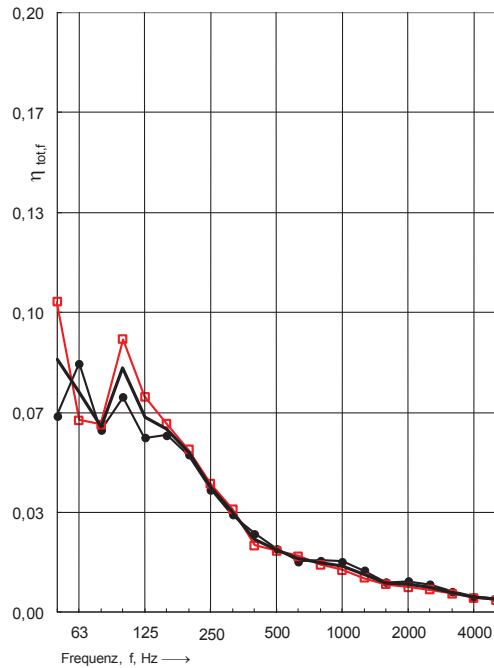
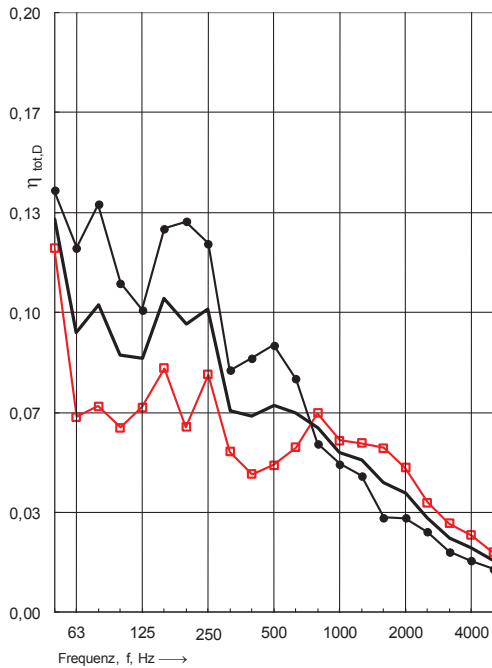
**Abbildung 41**  $D_{v,ij}$ ,  $K_{ij}$ : Horizontaler T-Stoß – Hohlkastendecke getrennt, Trennbauteil z.T. mit Beplankung: Messdaten  $D_{v,Dr}$  mit zugehörigen Messkurven (links), Messdaten  $K_{Dr}$  mit zugehörigen Messkurven (rechts)

**Gesamt Verlustfaktoren der Stoßbauteile, Stoßtyp 1b\_B, Übertragungsweg Df:**

Prüf.Nr.:	Flanke	Trennwand	$\frac{m^2_{Wand}}{m^2_{Decke}}$	Abmessungen
1b_B_01	200 LFE	80 BSP	0,98	$l_{ij} = 4,3 \text{ m}$
1b_B_02	200 LFE	2x18 GF / 140 BSP/ 2x18 GF	3,98	$S_{Dd} = 10,8 \text{ m}^2$
				$S_F = 21,5 \text{ m}^2$
				$S_I = 20 \text{ m}^2$



1b_B_01				1b_B_02					
f in Hz	$\eta_{tot,D}$		$\bar{x}$	$\sigma$	f in Hz	$\eta_{tot,f}$		$\bar{x}$	$\sigma$
50	0,122	0,141	0,131		50	0,103	0,066	0,085	
63	0,065	0,122	0,093		63	0,064	0,083	0,074	
80	0,069	0,136	0,102		80	0,063	0,061	0,062	
100	0,062	0,110	0,086		100	0,091	0,072	0,081	
125	0,068	0,101	0,085		125	0,072	0,058	0,065	
160	0,081	0,128	0,105		160	0,063	0,059	0,061	
200	0,062	0,130	0,096		200	0,054	0,053	0,053	
250	0,079	0,123	0,101		250	0,043	0,041	0,042	
315	0,054	0,081	0,067		315	0,034	0,032	0,033	
400	0,046	0,085	0,065		400	0,022	0,026	0,024	
500	0,049	0,089	0,069		500	0,020	0,021	0,021	
630	0,055	0,078	0,066		630	0,019	0,017	0,018	
800	0,066	0,056	0,061		800	0,016	0,017	0,017	
1000	0,057	0,049	0,053		1000	0,014	0,017	0,016	
1250	0,056	0,046	0,051		1250	0,012	0,014	0,013	
1600	0,055	0,032	0,043		1600	0,009	0,010	0,010	
2000	0,048	0,031	0,040		2000	0,009	0,010	0,009	
2500	0,037	0,027	0,032		2500	0,008	0,009	0,008	
3150	0,030	0,020	0,025		3150	0,006	0,007	0,007	
4000	0,026	0,017	0,021		4000	0,005	0,005	0,005	
5000	0,020	0,014	0,017		5000	0,004	0,005	0,004	



**Abbildung 42**  $\eta_{tot}$ : Horizontaler T-Stoß – Hohlkastendecke getrennt, Trennbauteil z.T. mit Beplankung: Messdaten  $\eta_{tot,D}$  mit zugehörigen Messkurven (links); Messdaten  $\eta_{tot,f}$  mit zugehörigen Messkurven (rechts)